

# Starkniederschlagshöhen und -spenden gemäß KOSTRA-DWD-2020

## Rasterfeld 125108

(Zeile 125, Spalte 108)

### Regenspende und Bemessungsniederschlagswerte in Abhängigkeit von Wiederkehrzeit T und Dauerstufe D

| Dauerstufe D |     | Wiederkehrzeit T |            |      |            |      |            |      |            |       |            |       |            |       |            |       |            |       |            |
|--------------|-----|------------------|------------|------|------------|------|------------|------|------------|-------|------------|-------|------------|-------|------------|-------|------------|-------|------------|
|              |     | 1 a              |            | 2 a  |            | 3 a  |            | 5 a  |            | 10 a  |            | 20 a  |            | 30 a  |            | 50 a  |            | 100 a |            |
| min          | Std | mm               | l / (s ha) | mm   | l / (s ha) | mm   | l / (s ha) | mm   | l / (s ha) | mm    | l / (s ha) | mm    | l / (s ha) | mm    | l / (s ha) | mm    | l / (s ha) | mm    | l / (s ha) |
| 5            |     | 6,0              | 200,0      | 7,4  | 246,7      | 8,2  | 273,3      | 9,3  | 310,0      | 10,9  | 363,3      | 12,6  | 420,0      | 13,7  | 456,7      | 15,1  | 503,3      | 17,1  | 570,0      |
| 10           |     | 7,9              | 131,7      | 9,7  | 161,7      | 10,8 | 180,0      | 12,3 | 205,0      | 14,4  | 240,0      | 16,6  | 276,7      | 18,0  | 300,0      | 19,9  | 331,7      | 22,6  | 376,7      |
| 15           |     | 9,1              | 101,1      | 11,2 | 124,4      | 12,5 | 138,9      | 14,2 | 157,8      | 16,6  | 184,4      | 19,1  | 212,2      | 20,8  | 231,1      | 22,9  | 254,4      | 26,0  | 288,9      |
| 20           |     | 10,0             | 83,3       | 12,3 | 102,5      | 13,7 | 114,2      | 15,6 | 130,0      | 18,3  | 152,5      | 21,0  | 175,0      | 22,8  | 190,0      | 25,2  | 210,0      | 28,6  | 238,3      |
| 30           |     | 11,4             | 63,3       | 14,0 | 77,8       | 15,6 | 86,7       | 17,7 | 98,3       | 20,7  | 115,0      | 23,9  | 132,8      | 25,9  | 143,9      | 28,6  | 158,9      | 32,5  | 180,6      |
| 45           |     | 12,9             | 47,8       | 15,8 | 58,5       | 17,6 | 65,2       | 20,0 | 74,1       | 23,4  | 86,7       | 27,0  | 100,0      | 29,3  | 108,5      | 32,3  | 119,6      | 36,7  | 135,9      |
| 60           | 1   | 14,0             | 38,9       | 17,2 | 47,8       | 19,2 | 53,3       | 21,8 | 60,6       | 25,5  | 70,8       | 29,4  | 81,7       | 31,9  | 88,6       | 35,2  | 97,8       | 39,9  | 110,8      |
| 90           | 1,5 | 15,8             | 29,3       | 19,3 | 35,7       | 21,6 | 40,0       | 24,5 | 45,4       | 28,7  | 53,1       | 33,0  | 61,1       | 35,8  | 66,3       | 39,5  | 73,1       | 44,9  | 83,1       |
| 120          | 2   | 17,1             | 23,8       | 21,0 | 29,2       | 23,4 | 32,5       | 26,6 | 36,9       | 31,1  | 43,2       | 35,8  | 49,7       | 38,9  | 54,0       | 42,9  | 59,6       | 48,7  | 67,6       |
| 180          | 3   | 19,2             | 17,8       | 23,5 | 21,8       | 26,2 | 24,3       | 29,8 | 27,6       | 34,9  | 32,3       | 40,1  | 37,1       | 43,6  | 40,4       | 48,1  | 44,5       | 54,6  | 50,6       |
| 240          | 4   | 20,8             | 14,4       | 25,5 | 17,7       | 28,4 | 19,7       | 32,3 | 22,4       | 37,8  | 26,3       | 43,5  | 30,2       | 47,2  | 32,8       | 52,1  | 36,2       | 59,1  | 41,0       |
| 360          | 6   | 23,3             | 10,8       | 28,5 | 13,2       | 31,8 | 14,7       | 36,1 | 16,7       | 42,3  | 19,6       | 48,7  | 22,5       | 52,8  | 24,4       | 58,3  | 27,0       | 66,2  | 30,6       |
| 540          | 9   | 26,0             | 8,0        | 31,9 | 9,8        | 35,6 | 11,0       | 40,4 | 12,5       | 47,3  | 14,6       | 54,4  | 16,8       | 59,1  | 18,2       | 65,2  | 20,1       | 74,0  | 22,8       |
| 720          | 12  | 28,2             | 6,5        | 34,6 | 8,0        | 38,5 | 8,9        | 43,7 | 10,1       | 51,2  | 11,9       | 58,9  | 13,6       | 64,0  | 14,8       | 70,6  | 16,3       | 80,1  | 18,5       |
| 1080         | 18  | 31,5             | 4,9        | 38,6 | 6,0        | 43,1 | 6,7        | 48,9 | 7,5        | 57,2  | 8,8        | 65,9  | 10,2       | 71,5  | 11,0       | 78,9  | 12,2       | 89,6  | 13,8       |
| 1440         | 24  | 34,1             | 3,9        | 41,8 | 4,8        | 46,6 | 5,4        | 52,9 | 6,1        | 62,0  | 7,2        | 71,3  | 8,3        | 77,4  | 9,0        | 85,4  | 9,9        | 96,9  | 11,2       |
| 2880         | 48  | 41,2             | 2,4        | 50,6 | 2,9        | 56,4 | 3,3        | 64,0 | 3,7        | 74,9  | 4,3        | 86,2  | 5,0        | 93,7  | 5,4        | 103,4 | 6,0        | 117,3 | 6,8        |
| 4320         | 72  | 46,1             | 1,8        | 56,5 | 2,2        | 63,0 | 2,4        | 71,5 | 2,8        | 83,8  | 3,2        | 96,4  | 3,7        | 104,7 | 4,0        | 115,5 | 4,5        | 131,0 | 5,1        |
| 5760         | 96  | 49,8             | 1,4        | 61,2 | 1,8        | 68,2 | 2,0        | 77,4 | 2,2        | 90,6  | 2,6        | 104,3 | 3,0        | 113,3 | 3,3        | 125,0 | 3,6        | 141,8 | 4,1        |
| 7200         | 120 | 53,0             | 1,2        | 65,0 | 1,5        | 72,5 | 1,7        | 82,3 | 1,9        | 96,4  | 2,2        | 110,9 | 2,6        | 120,4 | 2,8        | 132,9 | 3,1        | 150,8 | 3,5        |
| 8640         | 144 | 55,7             | 1,1        | 68,4 | 1,3        | 76,2 | 1,5        | 86,5 | 1,7        | 101,3 | 2,0        | 116,6 | 2,2        | 126,6 | 2,4        | 139,7 | 2,7        | 158,5 | 3,1        |
| 10080        | 168 | 58,1             | 1,0        | 71,3 | 1,2        | 79,5 | 1,3        | 90,2 | 1,5        | 105,7 | 1,7        | 121,6 | 2,0        | 132,0 | 2,2        | 145,7 | 2,4        | 165,3 | 2,7        |

# Starkniederschlagshöhen und -spenden gemäß KOSTRA-DWD-2020

## Rasterfeld 125108

(Zeile 125, Spalte 108)

### Örtliche Unsicherheiten in Abhängigkeit von Wiederkehrzeit T und Dauerstufe D

| Dauerstufe D |     | Wiederkehrzeit T |     |     |     |      |      |      |      |       |
|--------------|-----|------------------|-----|-----|-----|------|------|------|------|-------|
|              |     | 1 a              | 2 a | 3 a | 5 a | 10 a | 20 a | 30 a | 50 a | 100 a |
| min          | Std | ± %              | ± % | ± % | ± % | ± %  | ± %  | ± %  | ± %  | ± %   |
| 5            |     | 7                | 8   | 9   | 10  | 10   | 11   | 12   | 12   | 12    |
| 10           |     | 10               | 12  | 13  | 14  | 15   | 16   | 17   | 17   | 18    |
| 15           |     | 12               | 14  | 15  | 16  | 18   | 18   | 19   | 19   | 20    |
| 20           |     | 13               | 15  | 16  | 17  | 19   | 19   | 20   | 20   | 21    |
| 30           |     | 14               | 16  | 17  | 18  | 19   | 20   | 21   | 21   | 22    |
| 45           |     | 14               | 16  | 17  | 18  | 20   | 21   | 21   | 22   | 22    |
| 60           | 1   | 14               | 16  | 17  | 18  | 20   | 20   | 21   | 21   | 22    |
| 90           | 1,5 | 13               | 16  | 17  | 18  | 19   | 20   | 20   | 21   | 21    |
| 120          | 2   | 13               | 15  | 16  | 17  | 18   | 19   | 20   | 20   | 21    |
| 180          | 3   | 12               | 14  | 15  | 16  | 17   | 18   | 19   | 19   | 20    |
| 240          | 4   | 11               | 13  | 14  | 15  | 16   | 17   | 18   | 18   | 19    |
| 360          | 6   | 10               | 12  | 13  | 14  | 15   | 16   | 17   | 17   | 18    |
| 540          | 9   | 9                | 11  | 12  | 13  | 14   | 15   | 15   | 16   | 16    |
| 720          | 12  | 8                | 10  | 11  | 12  | 13   | 14   | 14   | 15   | 15    |
| 1080         | 18  | 7                | 9   | 10  | 11  | 12   | 13   | 13   | 14   | 14    |
| 1440         | 24  | 7                | 8   | 9   | 10  | 11   | 12   | 12   | 13   | 13    |
| 2880         | 48  | 6                | 7   | 8   | 8   | 9    | 10   | 11   | 11   | 12    |
| 4320         | 72  | 6                | 7   | 7   | 8   | 9    | 9    | 10   | 10   | 11    |
| 5760         | 96  | 7                | 7   | 7   | 7   | 8    | 9    | 9    | 10   | 10    |
| 7200         | 120 | 7                | 7   | 7   | 7   | 8    | 8    | 9    | 9    | 10    |
| 8640         | 144 | 8                | 7   | 7   | 7   | 8    | 8    | 9    | 9    | 9     |
| 10080        | 168 | 8                | 7   | 7   | 7   | 8    | 8    | 8    | 9    | 9     |

### Parameter für abweichende T und D

#### Lokationsparameter $\xi$ (Xi)

14,28160314

#### Skalenparameter $\alpha$ (Alpha)

4,50617462

#### Formparameter $\kappa$ (Kappa)

-0,1

#### 1. Koutsoyiannis-Parameter $\theta$ (Theta)

0,02382174

#### 2. Koutsoyiannis-Parameter $\eta$ (Eta)

0,725959

Parameter für dauerstufenübergreifende Extremwertschätzung nach KOUTSOYIANNIS et al. 1998.

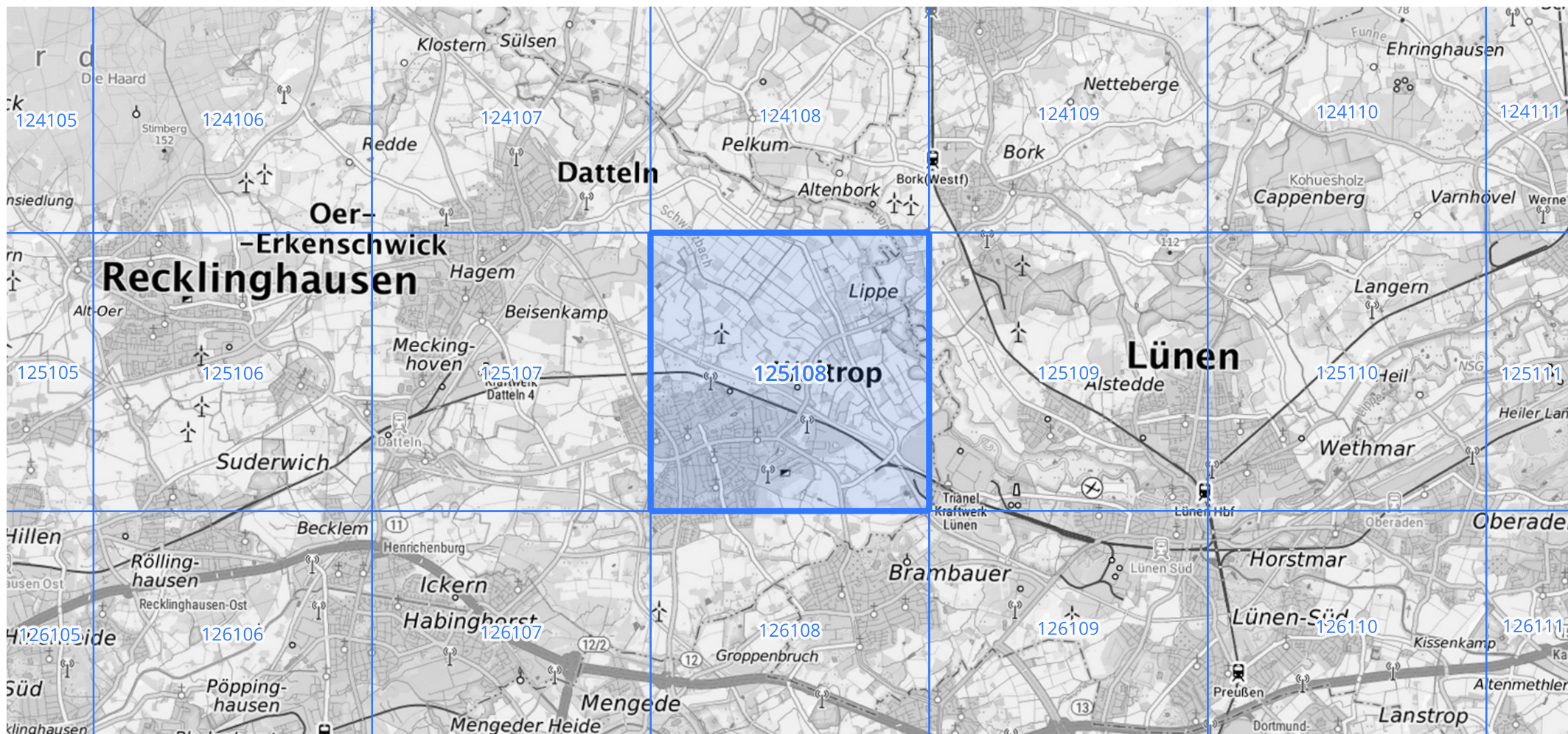
Siehe auch Anwendungshilfe zu KOSTRA-DWD-2020 des Deutschen Wetterdienstes.

## Starkniederschlagshöhen und -spenden gemäß KOSTRA-DWD-2020

## Rasterfeld 125108

(Zeile 125, Spalte 108)

Übersichtskarte des Rasterfeldes 125108, M 1 : 100 000



Quelle Rasterdaten: KOSTRA-DWD-2020 des Deutschen Wetterdienstes, Stand 12/2022.

Seite 3 von 3

Kartendarstellung: © Bundesamt für Kartographie und Geodäsie (2023), Datenquellen: [https://sgx.geodatenzentrum.de/web\\_public/gdz/datenquellen/Datenquellen\\_TopPlusOpen.html](https://sgx.geodatenzentrum.de/web_public/gdz/datenquellen/Datenquellen_TopPlusOpen.html)

Für die Richtigkeit und Aktualität der Angaben wird keine Gewähr übernommen. Erstellt 01/2023.